

Starkniederschlagshöhen und -spenden gemäß KOSTRA-DWD-2010R

Auswertungszeitraum von 1951 - 2010, Januar - Dezember

Rasterfeld: 62015

Zeile: 62

Spalte: 15

Seite: 1/2

| Dauerstufe D | | Wiederkehrzeit T | | | | | | | | | | | | | | | | | |
|--------------|-----|------------------|------------|------|------------|------|------------|------|------------|------|------------|------|------------|------|------------|------|------------|-------|------------|
| | | 1 a | | 2 a | | 3 a | | 5 a | | 10 a | | 20 a | | 30 a | | 50 a | | 100 a | |
| min | Std | mm | l / (s ha) | mm | l / (s ha) | mm | l / (s ha) | mm | l / (s ha) | mm | l / (s ha) | mm | l / (s ha) | mm | l / (s ha) | mm | l / (s ha) | mm | l / (s ha) |
| 5 | | 5,0 | 166,7 | 6,9 | 230,0 | 8,0 | 266,7 | 9,4 | 313,3 | 11,3 | 376,7 | 13,2 | 440,0 | 14,3 | 476,7 | 15,7 | 523,3 | 17,7 | 590,0 |
| 10 | | 8,0 | 133,3 | 10,6 | 176,7 | 12,0 | 200,0 | 13,9 | 231,7 | 16,4 | 273,3 | 18,9 | 315,0 | 20,4 | 340,0 | 22,3 | 371,7 | 24,8 | 413,3 |
| 15 | | 10,1 | 112,2 | 13,1 | 145,6 | 14,8 | 164,4 | 17,0 | 188,9 | 20,0 | 222,2 | 22,9 | 254,4 | 24,6 | 273,3 | 26,8 | 297,8 | 29,8 | 331,1 |
| 20 | | 11,6 | 96,7 | 14,9 | 124,2 | 16,9 | 140,8 | 19,3 | 160,8 | 22,6 | 188,3 | 26,0 | 216,7 | 27,9 | 232,5 | 30,4 | 253,3 | 33,7 | 280,8 |
| 30 | | 13,6 | 75,6 | 17,5 | 97,2 | 19,8 | 110,0 | 22,7 | 126,1 | 26,6 | 147,8 | 30,5 | 169,4 | 32,8 | 182,2 | 35,7 | 198,3 | 39,6 | 220,0 |
| 45 | | 15,3 | 56,7 | 19,9 | 73,7 | 22,6 | 83,7 | 26,0 | 96,3 | 30,7 | 113,7 | 35,3 | 130,7 | 38,0 | 140,7 | 41,4 | 153,3 | 46,0 | 170,4 |
| 60 | | 16,4 | 45,6 | 21,6 | 60,0 | 24,6 | 68,3 | 28,4 | 78,9 | 33,6 | 93,3 | 38,8 | 107,8 | 41,8 | 116,1 | 45,6 | 126,7 | 50,8 | 141,1 |
| 90 | | 17,9 | 33,1 | 23,3 | 43,1 | 26,5 | 49,1 | 30,5 | 56,5 | 35,9 | 66,5 | 41,4 | 76,7 | 44,6 | 82,6 | 48,6 | 90,0 | 54,0 | 100,0 |
| 120 | 2 | 19,1 | 26,5 | 24,7 | 34,3 | 28,0 | 38,9 | 32,1 | 44,6 | 37,7 | 52,4 | 43,3 | 60,1 | 46,6 | 64,7 | 50,8 | 70,6 | 56,4 | 78,3 |
| 180 | 3 | 20,8 | 19,3 | 26,7 | 24,7 | 30,1 | 27,9 | 34,5 | 31,9 | 40,4 | 37,4 | 46,3 | 42,9 | 49,7 | 46,0 | 54,1 | 50,1 | 59,9 | 55,5 |
| 240 | 4 | 22,1 | 15,3 | 28,2 | 19,6 | 31,8 | 22,1 | 36,3 | 25,2 | 42,4 | 29,4 | 48,5 | 33,7 | 52,0 | 36,1 | 56,5 | 39,2 | 62,6 | 43,5 |
| 360 | 6 | 24,2 | 11,2 | 30,6 | 14,2 | 34,3 | 15,9 | 39,0 | 18,1 | 45,4 | 21,0 | 51,8 | 24,0 | 55,5 | 25,7 | 60,2 | 27,9 | 66,6 | 30,8 |
| 540 | 9 | 26,4 | 8,1 | 33,1 | 10,2 | 37,0 | 11,4 | 41,9 | 12,9 | 48,6 | 15,0 | 55,4 | 17,1 | 59,3 | 18,3 | 64,2 | 19,8 | 70,9 | 21,9 |
| 720 | 12 | 28,1 | 6,5 | 35,0 | 8,1 | 39,1 | 9,1 | 44,2 | 10,2 | 51,1 | 11,8 | 58,0 | 13,4 | 62,1 | 14,4 | 67,2 | 15,6 | 74,1 | 17,2 |
| 1080 | 18 | 30,6 | 4,7 | 37,9 | 5,8 | 42,2 | 6,5 | 47,5 | 7,3 | 54,8 | 8,5 | 62,1 | 9,6 | 66,3 | 10,2 | 71,7 | 11,1 | 79,0 | 12,2 |
| 1440 | 24 | 32,6 | 3,8 | 40,1 | 4,6 | 44,5 | 5,2 | 50,1 | 5,8 | 57,6 | 6,7 | 65,1 | 7,5 | 69,5 | 8,0 | 75,1 | 8,7 | 82,6 | 9,6 |
| 2880 | 48 | 40,9 | 2,4 | 48,4 | 2,8 | 52,8 | 3,1 | 58,3 | 3,4 | 65,8 | 3,8 | 73,3 | 4,2 | 77,7 | 4,5 | 83,3 | 4,8 | 90,8 | 5,3 |
| 4320 | 72 | 46,7 | 1,8 | 54,2 | 2,1 | 58,6 | 2,3 | 64,1 | 2,5 | 71,6 | 2,8 | 79,1 | 3,1 | 83,5 | 3,2 | 89,0 | 3,4 | 96,5 | 3,7 |

Angaben in mm: Bemessungsniederschlagswerte h(n)

Angaben in l / (s ha): Regenspende R(n) mit $R(n) = h(n) \times 1,666667 / D[\text{min}]$

Toleranzbereiche:

+/- 10 % für $1 a \leq T \leq 5 a$

+/- 15 % für $5 a < T \leq 50 a$

+/- 20 % für $50 a < T \leq 100 a$

Datenbasis: KOSTRA-DWD-2010R des Deutschen Wetterdienstes. Die Regenspende wurde auf Basis des Bemessungsniederschlags zur jeweiligen Andauer berechnet.

Für die Richtigkeit und Aktualität der Angaben wird keine Gewähr übernommen. Erstellt 07/2022.

Starkniederschlagshöhen und -spenden gemäß KOSTRA-DWD-2010R

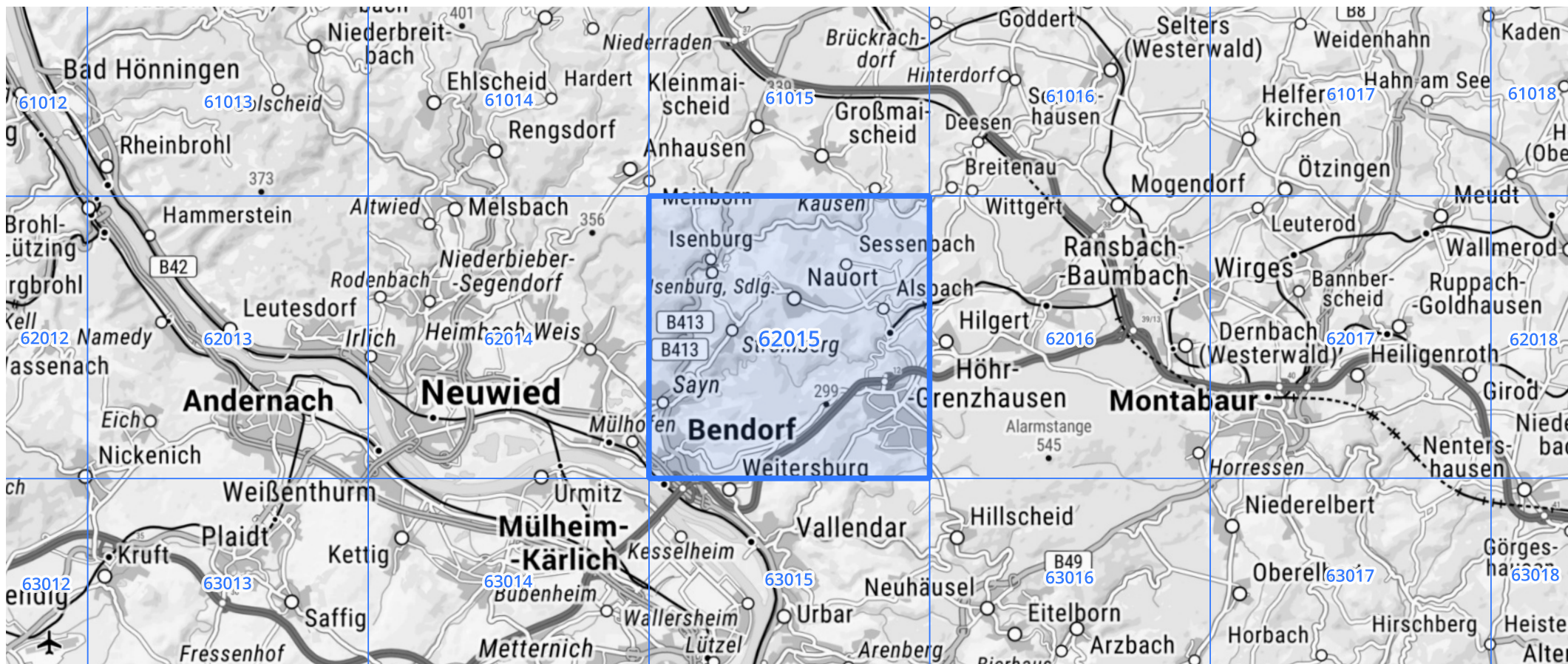
Auswertungszeitraum von 1951 - 2010, Januar - Dezember

Rasterfeld: 62015

Zeile: 62

Spalte: 15

Seite: 2/2



Quelle Rasterdaten: KOSTRA-DWD-2010R des Deutschen Wetterdienstes.

Kartendarstellung: © Bundesamt für Kartographie und Geodäsie (2022), Datenquellen: https://sgx.geodatenzentrum.de/web_public/gdz/datenquellen/Datenquellen_TopPlusOpen.html

Für die Richtigkeit und Aktualität der Angaben wird keine Gewähr übernommen. Erstellt 07/2022.